

اثر طرح‌های گوناگون اسپروگذاری بر میزان تخلخل درونی روکش‌های ریخته شده با تیتانیوم

مینو مهشید^{*} - رضا دارابی^{**} - حسن سازگار^{***} - کاوه سیدان^{***} - مسعود ورشوساز^{****} - مسعود اجلالی^{****}
مرتضی نیکوبذر^{*****} - بهنام اسلامی^{*****}

^{*}دانشیار گروه پروتز ثابت، دانشکده دندانپزشکی، دانشگاه علوم پزشکی و خدمات بهداشتی درمانی شهید بهشتی

^{**} متخصص پروترهای دندانی

^{***} استادیار گروه پروتز ثابت، دانشکده دندانپزشکی، دانشگاه علوم پزشکی و خدمات بهداشتی درمانی شهید بهشتی

^{****} استادیار گروه رادیولوژی دهان، فک و صورت، دانشکده دندانپزشکی، دانشگاه علوم پزشکی و خدمات بهداشتی درمانی شهید بهشتی

^{*****} عضو هیات علمی، گروه پروتز متحرک، دانشکده دندانپزشکی، دانشگاه علوم پزشکی و خدمات بهداشتی درمانی شهید بهشتی

^{*****} عضو هیات علمی، سریرست لبراتوار مرکزی، دانشکده دندانپزشکی، دانشگاه علوم پزشکی و خدمات بهداشتی درمانی شهید بهشتی

^{*****} دانشیار گروه پاتولوژی دهان، فک و صورت، دانشکده دندانپزشکی، دانشگاه علوم پزشکی و خدمات بهداشتی درمانی شهید بهشتی

چکیده

بیان مساله: تخلخل درونی به وفور در ریختگی‌های تیتانیوم دیده می‌شود. طرح اسپروگذاری در شکل گیری وتوزیع تخلخل درونی در تیتانیوم موثر است.

هدف: این بررسی اثر انواع گوناگون طراحی اسپرو را بر روی میزان تخلخل درونی روکش‌های ساخته شده با تیتانیوم بررسی می‌کند.

مواد و روش: در این بررسی آزمایشگاهی که به صورت تجربی وبا توزیع تصادفی انجام گرفت شمار ۶۰ روکش کامل تاجی بر روی یک دای فلزی با خط خاتمه‌ی تراش sloping shoulder (۱۵۰°) با موم شکل داده شد، هر یک از الگوهای مومی در توزیعی تصادفی با یکی از سه شکل متفاوت طراحی اسپرو (Rousseau, Runner bar, Reservoir) اسپروگذاری شدند و با مواد اینوستمنت (alumina-magnesia) سیلیندرگذاری گردیدند و سپس، با دستگاه ریخته‌گری ویژه تیتانیوم بطبق دستورالعمل کارخانه‌ی سازنده، با تیتانیوم خالص تجاری ریخته شدند. سپس روکش‌های ریخته شده به دقت تمیز گردیدند و به وسیله‌ی دستگاه برش، به دو نیمه بخش شدند. سپس با فراهم کردن پرتونگاری و اسکن شدن آنها مساحت تخلخل‌های درونی و شمار آنها با نرم‌افزار (Wixwin2000) و با عمل کننده‌ی دیگر به صورت کور (blind) اندازه‌گیری گردید. داده‌ها ابتدا با آزمون آماری ANOVA با ضریب اطمینان ۹۵ درصد و اکاوای شدند. برای مقایسه چندگانه تخلخل‌های درونی از آماره (LSD) و برای بررسی تفاوت مساحت تخلخل‌های درونی از آزمون ناپارامتری کروسکال والیس و برای مقایسه‌های چندگانه از روش ناپارامتری من ویتنی استفاده شد.

یافته‌ها: شماره مساحت تخلخل درونی در این سه طرح اسپروگذاری دارای اختلاف معنادار آماری بود ($p < 0.05$) و کمترین میزان تخلخل درونی در طراحی رزروار (Reservoir) دیده شد.

نتیجه‌گیری: با طراحی رزروار همراه با ونت (vent) در ریخته‌گری تیتانیوم، از نظر میزان تخلخل درونی بهبود به دست آمد. دستیابی به شواهد بهتر و افزایش تعیین‌پذیری کلینیکی در مورد تاثیر طرح‌های مختلف اسپروگذاری بر تخلخل درونی و همچنین تاثیر هم زمان این طرح‌ها بر دقت کلینیکی و انتلاق مارجین در روکش‌های ریخته شده با تیتانیوم نیازمند بررسی های بیشتر است.

وازگان کلیدی: تیتانیوم، تخلخل درونی، طراحی اسپرو

تاریخ پذیرش مقاله: ۱۴/۵/۸۵

تاریخ دریافت مقاله: ۱۰/۱۲/۸۴

مجله دندانپزشکی دانشگاه علوم پزشکی شیراز. سال ششم؛ شماره ۳ و ۴، ۱۳۸۴ صفحه‌ی ۱۲۲ تا ۱۳۴

* نویسنده مسؤول مکاتبات: مینو مهشید. تهران- اوین- بزرگراه شهید چمران- دانشکده دندانپزشکی دانشگاه علوم پزشکی و خدمات

بهداشتی درمانی شهید بهشتی- گروه آموزشی پروتز ثابت- تلفن: ۰۳۰-۰۴۰۲۲۴-۰۲۱

کلی، در ریخته‌گری گروه های گوناگون آلیاژی، از جمله تایتانیوم و آلیاژهای آن، دو گونه تخلخل درونی می تواند با عنوان تخلخل ناشی از گاز (pinhole porosity, gas inclusion) و تخلخل ناشی از سردشدن و انجماد (shrinkage, subsurface, tensile strength) بروز کند^(۱۸-۲۰).

عوامل موثر بر تخلخل ناشی از گاز عبارت هستند از: میل ترکیبی بالای تایتانیوم با عنصری همچون اکسیژن، نیتروژن و هیدروژن، طرح اسپروگذاری، تفاوت فشار گاز خنثی میان فضاهای گوناگون در هنگام ریخته‌گری (melting and mold chambers)^(۱۳) و واکنش میان تایتانیوم و مواد اینوستمنت (investment)، که تولید گاز می کند^(۲۰-۲۱).

گونه‌ی دیگر تخلخل، تخلخل ناشی از سرد شدن و انجماد است، که در روند سرد شدن و انجماد آلیاژ فلزی به وجود می‌آید. شکل‌گیری و توزیع این تخلخل را به ویژگی‌های هندسی ریختگی و قطر اسپرو و طرح برنامه‌ی تغذیه‌ای و پرکننده (filling and feeding system) وابسته دانسته‌اند^(۱۷). با وجود مشخص شدن نقش طراحی اسپرو و طرح برنامه‌ی تغذیه‌ای و پرکننده در هر دو گونه تخلخل گازی و انقباضی در روش‌های ریخته‌گری تایتانیوم^(۱۷)، طرح‌های اسپروی به کار گرفته شده برای ریخته‌گری تایتانیوم، از کارایی کافی برخوردار نبوده^(۲۰) و درباره‌ی بهترین طرح اسپروگذاری اختلاف دیدگاه وجود دارد^(۲۱-۲۳). زیرا، وزن مخصوص تایتانیوم بسیار پایین است (۴/۵ گرم/ سانتی متر مکعب) و شکل هندسی اتصال اسپرو می‌تواند اثراتی گوناگون از نظر ایجاد تخلخل و قابلیت ریخته‌گری در فلزات با وزن مخصوص پایین ایجاد کند^(۱۴). همچنین، وجود شرایط ویژه‌ی ریخته‌گری تایتانیوم (وجود گاز آرگون در محیط، درجه‌ی ذوب بسیار بالای تایتانیوم و امکان ترکیب مواد تشکیل دهنده‌ی بوته و مواد اینوستمنت با فلز مذاب) ایجاد تغییر در طرح‌های مرسوم اسپروگذاری را ایجاب می کند^(۲۱-۲۴).

مقدمه

تایتانیوم، به دلیل مقاومت در برابر خوردگی (corrosion) و خستگی (fatigue) سازگاری بافتی خوب (biocompatibility) وزن حجمی پایین^(۱)، استحکام کششی بالا (tensile strength)، قابلیت چکش خواری بالا (malleability) و مفتولیت بالا (high ductility)، قابلیت کار شدن با ماشین (machinability)، توان پوشیده شدن با سرامیک‌های بایوакتیو (bioactive)^(۳)، داشتن اثر حافظه‌ی شکلی (super elasticity)^(۴)، ترانسلوسنت بودن در پرتونگاری و قیمت ارزان^(۵)، از پایان دهه ۱۹۸۰ به گونه‌ی ای فراینده برای ساخت روکش‌های ثابت^(۶-۸) و ساختار فلزی (frame) پروتزهای پارسیل متحرک^(۹) به کار گرفته شده است. امروزه کاربرد تایتانیوم در ساخت ایمپلنت‌های دندانی نیز متداول گشته است. در دندانپزشکی، تایتانیوم به دو صورت به کار می‌رود: خالص تجاری (Commercially pure titanium) از لحاظ خصوصیات مکانیکی، و صورت آلیاژی ان با آلومینیم و وانادیم (Titanium-6aluminum-4vanadiu)^(۱۰-۱۲) رایج‌ترین روش استفاده از تایتانیوم برای ساخت پروتزهای دندانی، ریخته‌گری با مواد اینوستمنت (investment) به کمک روش‌های سانتریفیوژ و خلا (vacuum-pressure) است^(۱۰). هر چند در برخی منابع رسیدن به دقت کلینیکی قابل قبول در انطباق مارجین روکش‌ها با تایتانیوم گزارش شده است^(۱۵). اما همچنان در زمینه بهبود ریختگی با تایتانیوم نیاز به بررسی‌های بیشتر گزارش شده است^(۱۲) یکی از شایع‌ترین دشواری‌ها در ریختگی‌های تایتانیوم وجود تخلخل درونی است^(۱۶). تخلخل درونی در ساختار فلزی می‌تواند به عنوان یک توان خطر در ساز و کار شکستن ساختار فلزی، به دلیل کاهش حجم فلز و متمنکر شدن فشار (stress) عمل کند. گذشته از این، وجود تخلخل در روکش‌های متاب‌سرامیک (metal-ceramic) باعث ناهنجاری در پیوند پرسلن به ساختار فلزی شده و در نهایت شکست‌های بالینی را ایجاد نموده و مانع از کاربرد تایتانیوم به عنوان یک گزینه مطلوب می‌گردد^(۱۷). به طور

برای آلیاژهای (Gradual/Abrupt constriction) نوبل (High noble) نوع باز شده عنوان گردیده است.^(۲۵) گفتئی است که معایب ریخته گری فلزات با وزن مخصوص پایین، همچون تایتانیوم، می‌تواند افزون بر طراحی ویژه‌ی اسپرو، با افزایش سرعت چرخش سانتریفوگ جبران شود.^(۲۶)

از این رو، با توجه به تناسبات موجود در زمینه طرح‌های گوناگون اسپروگذاری با تایتانیوم در روکش‌های تکی و کمبود یا نبود منابع در دسترس، در زمینه‌ی مقایسه روش‌های گوناگون اسپروگذاری، و با توجه به اثر این روش‌ها در حذف یا کاهش تخلخل درونی، هدف این پژوهش، تعیین اثر طرح‌های گوناگون اسپروگذاری بر میزان تخلخل درونی روکش‌های ریخته شده با آلیاژ تایتانیوم در بخش تخصصی پروتز دانشکده دندانپزشکی دانشگاه شهری در سال ۱۳۸۴ بود.

مواد و روش

در این بررسی آزمایشگاهی که به صورت آزمایشگاهی و با توزیع تصادفی انجام گرفت برای تعیین میزان تخلخل درونی، در آغاز به روش خورده از جنس استنلیس استیل با مشخصات تعريف شده به وسیله دستگاه تراش خودکار CNC (ساخت آلمان TORNOS) با دقیق ۰/۰۰۱ میلی‌متر ساخته شد (شکل ۱). مشخصات دای فلزی استوانه‌ای به قطر هفت میلی‌متر و ارتفاع هفت میلی‌متر است، که خط خاتمه‌ی تراش با ۱۵۰ درجه‌ی شولدر (Sloping shoulder) و تقارب ۱۰ درجه با در نظر گرفتن منابع موجود^(۲۷) و استاندارد استرالیایی معرفی شده (As 1920, 1985)^(۲۸) بوده است (شکل ۱ و ۲).

در مرحله‌ی بعدی با موم اینله‌ی ساخت آلمان (Blue inlay casting wax. Type II. HARVARD) یک شاخص پوتی با ماده‌ی قالب گیری (Coltene- Swiss Speedex) الگوی موی بوسیله ذوب موم با ضخامت (یک میلی‌متر) در سطح اکلوزال ساخته شد (شکل ۳).

به همین منظور، تاکنون برای ریخته‌گری تایتانیوم از طرح‌های گوناگون استفاده شده است، چای (Chai) و همکاران در سال ۱۹۹۵^(۲۹) با مقایسه طرح‌های مختلف رانر بار (runner bar) و یک اسپروی تکی وسیله اسپروی جداگانه، طرح اخیر رادر کاهش تخلخل درونی در بریجها مورد انتشار نداشتند. پژوهش چان (Chan) و همکاران در سال ۱۹۹۷^(۳۰) با مقایسه اسپروگذاری دوتایی و تک اسپرو در روکش‌های تکی کاربرد اسپروی دوتایی و ونت (vent) را پیشنهاد نمود. وو (WU) و همکاران در سال ۱۹۹۸^(۳۱) طرح‌های مختلف اسپروگذاری رانر بار رادر یک بازسازی رایانه‌ای با هم مقایسه کردند. در این بررسی با استفاده از اسکن سه بعدی لیزری (3D laser scanning) و استفاده از یک نرم افزار مراحل ریخته‌گری بازسازی شده و با اندازه‌گیری درصد موثر بودن تغذیه (Feeding effectiveness) در سلولهای فلزی مدل مجازی بازسازی شده روکش تایتانیوم مقدار کمی تخلخل ناشی از انقباض در مورد چهار طرح رانر بار بررسی ویکی از طرح‌ها فاقد تخلخل شناخته شد. کارایی طرح فوق با آزمون ان بر روی روکش‌های واقعی ریخته شده با تایتانیوم مورد تایید قرار گرفت. هر چند که در بررسی مشابهی توسط همین پژوهشگر و همکاران در سال ۲۰۰۱^(۳۲) طرح دیگری با توانایی حذف کامل تخلخل درونی معرفی گردید. با این که مقایسه طرح‌های مختلف و مرسوم اسپروگذاری روکش‌ها در بررسی سایر آلیاژهای دندانپزشکی (نیکل کروم، نقره پالادیوم و طلا پالادیوم) انجام پذیرفته است. به در مورد تایتانیوم این بررسی صورت نگرفته است. به عنوان نمونه در بررسی یانگ (Young) و همکاران در سال ۱۹۸۹^(۳۳) از میان سه طرح رزرووار (Reservoir)، روسو (Rousseau) و رانر بار (Runner bar)، طرح روسو بهترین طرح برای بهبود ریختگی در مورد تمامی آلیاژهای فوق معرفی و ادعای شده است که این طرح می‌تواند بیشترین اثر را در کاهش تخلخل درونی داشته باشد. همچنین بهترین حالت پیوند اسپرو به مدل مومی از میان چهار طرح مستقیم (straight) باز شده (Flared) و تنگی ناگهانی و تدریجی

انتخاب گردید. در این طرح قطر اسپرو چهار میلی متر وزاویه انحنا در حدود ۷۰ درجه و طول اسپروهای متصل به الگوهای مومی دو میلیمتر بوده است.

هر گروه از الگوهای مومی با یک طرح اسپرو، اسپروگذاری شد. اسپروها، با زاویه‌ی ۴۵ درجه به الگوهای مومی متصل شدند و در سمت روبه روی جای اتصال در لبه مارجین الگوی مومی، اسپرویی با ضخامت ۰/۹ میلی متر، به عنوان ونت متصل گردید (شکل ۴).

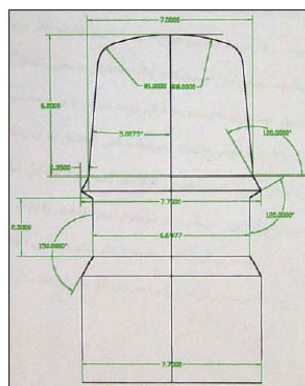
سپس، با قرار دادن الگوهای مومی در سیلندر فلزی با اندازه متوسط و قرار دادن یک لایه مقوا نسوز در درون سیلندر به سیلندر گذاری اقدام گردید. برای سیلندر گذاری از مواد اینوستمنت

(Titavest CB. J. Morita Co) alumina Magnesia ساخت ژاپن و برپایه‌ی دستور العمل کارخانه (نسبت پودر و مایع ۱۳/۵ سی / سی ۱۰۰ گرم) استفاده گردید. مواد اینوستمنت در زیر خلا با دستگاه Bego - ساخت آلمان) برای ۴۵ ثانیه مخلوط و سپس، با لرزش آهسته در درون سیلندر فلزی ریخته شد، به گونه‌ای که، مواد اینوستمنت، تقریباً شش میلی متر بالاتر از سطح بالایی الگوها را پر کرد و باقیمانده‌ی ونت قابل مشاهده بود. پس از سپری شدن زمان سخت شدن مواد اینوستمنت برپایه‌ی دستور العمل کارخانه، سیلندر در درون کوره‌ی (Manfredi-L7C) حذف موم ساخت ایتالیا) قرار گرفت. به این گونه، که در هر مرحله، یک سیلندر فلزی در مرکز کوره قرار داده شد و با یکسان‌سازی شرایط (۱- مدت زمان قرار گرفتن در کوره، ۲- موقعیت قرارگیری سیلندرها در کوره، ۳- درجه‌ی نهایی کوره) حذف موم و زمان دمایی (thermal cycle) بر اساس دستور العمل کارخانه و بررسی‌های پیشین انجام گرفت. سپس، با دستگاه ویژه‌ی ریخته‌گری تایتانیوم مجهز به سانتریفیو، گاز آرگون و ذوب القایی ریخته‌گری انجام شد (SEIT, DS3 Titan Plus) شمش ۱۰ و یا ۲۰ گرمی تایتانیوم (ایتالیا- II- Grade DS3 Titan Plus) برای هر ریخته‌گری استفاده شد. سپس، ریخته‌گری

شاخص پوتی برای کنترل شکل و ضخامت و گیج موم برای اطمینان از یکنواخت بودن ضخامت الگوی مومی به کار گرفته شد. برای تنظیم ضخامت الگوی مومی در ناحیه‌ی اکلوزال، از یک حلقه از جنس دورالی (duralay) به عنوان استاپ (stop) بر روی دیواره‌ی استوانه‌ای فلزی استفاده شد تا ضخامت یک میلی متر در سطح اکلوزال برای همه‌ی الگوها ثابت باشد، با توجه به این که حداقل ضخامت برای ریختگی آلیاژ تیتانیوم، ۰/۶ میلی متر پیشنهاد گردیده است^(۲۸). همه‌ی نواحی، به ویژه ناحیه‌ی مارجینال (Marginal)، با گیج موم دوباره ارزیابی و تنظیم می‌گردید. به این ترتیب، ۶۰ واحد الگوی مومی با شکل، اندازه و ضخامت یکسان ساخته شد و به صورت تصادفی در سه گروه ۲۰ تایی دسته بندی گردید، سپس، از اسپروهایی، که سه شکل مختلف و داشتنده و برپایه‌ی طرح‌های پیشنهادی مقالات و منابع برای اسپروگذاری مدل‌های مومی انتخاب شده بودند استفاده شد. به این گونه، که برپایه‌ی بررسی‌های ورت (Verret)^(۲۵) از جای اتصال اسپرو با طرح باز شده (flared) و از بررسی چای (Chai)^(۱۴) و یانگ (Young)^(۲۶) طرح رزروار انتخاب گردید. در طرح رزروار اسپروی با قطر چهار میلیمتر و طول هشت میلیمتر در لاین انگل (Line angle) در سطح اکلوزال قرار می‌گرفت و رزروار یا منبع در یک میلیمتری مدل مومی طراحی می‌شد. همچنین، طرح رانر بار با توجه به بررسی وو (Wu) و همکاران^(۲۲)، که چهار شکل گوناگون (برپایه‌ی قطر اجزا) را با هم مقایسه کرده و بهترین طرح رانر بار را پیشنهاد کرده بودند، به عنوان دومین طرح اسپرو انتخاب گردید. در این طرح قطر بار افقی (Distributor bar) شش میلیمتر و قطر اسپروی وارد شونده به بار افقی سه میلیمتر و قطر اسپروی متصل به مدل مومی (Ingot) چهار میلیمتر بوده و هر بار افقی در دو میلیمتری انتهایی افزاد بوده است. در پایان، طرح روسو (Rousseau)^(۲۳) با توجه به پیشنهاد برخی کارخانه‌های سازنده‌ی دستگاه ریخته‌گری تایتانیوم و نیز بررسی‌های یانگ (Young)^(۲۹ و ۳۰)، به عنوان آخرین طرح اسپرو گذاری و همکاران

روکش از سطح قطع شده بر روی فیلم پرتونگاری (آلمان، AGFA) قرار گرفته و پرتونگاری در جهت عمود بر سطح قطع شده و عمود بر فیلم با فاصله ثابت فراهم گردید. پس از اسکن شدن پرتونگاری ها با اسکنر Scan Maker 9600XL (Microtek-Intenation, Inc.) تایوان) مساحت تخلخل های درونی و شمار آنها با نرم افزار Wixwin ۲۰۰۰ (امریکا) با عمل کننده ی دیگر به صورت کور (blind) اندازه گیری گردید (شکل ۷). سپس، میانگین و انحراف معیار هر گروه تعیین شد و اعداد به دست آمده، به وسیله ی روش آماری مناسب با یکدیگر مقایسه گردیدند.

واکاوی داده ها با استفاده از نرم افزار آماری SPSS 11 انجام شد و با توجه به کمی بودن متغیر وابسته و کیفی بیشتر از دو حالت بودن متغیر مستقل برای بررسی معناداری تفاوت سه روش اسپروگذاری از نظر شمار تخلخل های درونی با توجه به برقراری شرایط استفاده از آزمون ANOVA این روش استفاده گردید. (فرض طبیعی بودن داده ها با استفاده از آزمون Kolmogorov-smirnov و فرض برابری واریانس ها با استفاده از آزمون Levene بررسی گردید و مورد پذیرش قرار گرفت). گفتنی است، که سطح معناداری نیز، در این بررسی $\alpha=0.05$ در نظر گرفته شد.



شکل ۲: شکل شماتیک دای فلزی

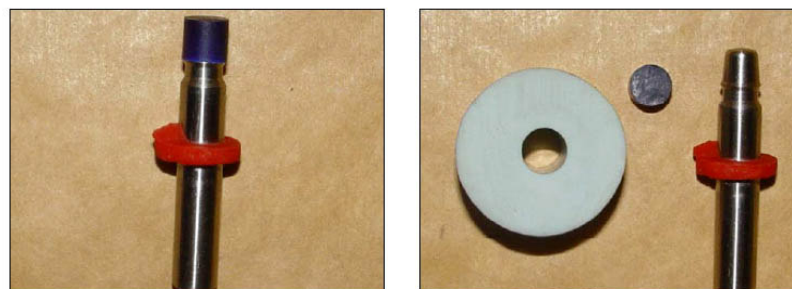
برای همه ی نمونه ها تکرار شد. پس از انجام مراحل ریخته گری، سیلندر فلزی به مدت ۲۰ ثانیه در آب غوطه ور گردید و پس از سرد شدن سیلندر، روکش های فلزی از مواد اینوستمنت جدا گردیدند و با دستگاه Sndblast (S80) ساخت کارخانه ی Dentarum آلمان) با شن به ابعاد ۱۵۰ میکرون و نیز، به وسیله ی دستگاه اولتراسوند (Vector 55 JELENKO - Amerika) تمیز گردیدند (شکل ۵). برای اطمینان از کیفیت ریخته گری، رنگ تایتانیوم پس از مرحله ای ریخته گری می بایستی به رنگ نقره ای باشد^(۳۰). پس از شماره گذاری محramانه و رده بندی، روکش ها به کمک دیسک های ذغالی از دو میلی متری جای اتصال اسپرو جدا گردیدند.

سپس، در مرحله ای بعدی با ثابت کردن روکش ها بر روی یک صفحه پلاستیکی به وسیله ی دستگاه (Thin sectioning, Hamco Machines INC. برش، New York, USA) هر روکش دو نیمه شد، به گونه ای که ونت در یک سمت قرار گرفت (شکل ۶).

سپس، دوباره دو نیمه ی روکش تایتانیوم با آب و دستگاه اولتراسوند تمیز گردیدند و به وسیله ی دستگاه رادیولوژی دندانی Planmeca ساخت فنلاند با شدت اشعه مشخص ۵۰ کیلو ولت و ۴ مگا امپر (50Kv-4MA) پرتونگاری فراهم گردید. هر نیمه



شکل ۱: دای فلزی



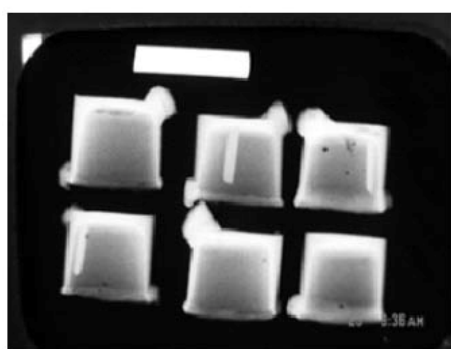
شکل ۳: شاخص پوتی (سمت راست). ساخت الگوی مومی (سمت چپ)



شکل ۴: اسپروگذاری الگوهای مومی با طرح های گوناگون



شکل ۵: ریختگی های تایتانیوم



شکل ۷: تصویر از پرتوگاری روکش های ساخته شده از تایتانیوم



شکل ۸: برش روکش ها

یافته‌ها

نتایج به دست آمده از اندازه‌گیری شمار تخلخل‌های درونی در سه روش اسپروگذاری در جدول ۱ آورده شده است.

همان گونه که مشاهده می‌شود، میانگین شمار تخلخل‌ها در این سه روش اسپروگذاری، به ترتیب برابر با $2/60$ و $3/05$ و $5/10$ و نیز، انحراف معیارهای سه روش اسپروگذاری عبارتند از: $2/998$ و $2/328$ و $4/179$.

کم ترین شمار تخلخل در هر سه روش صفر است، در حالی که بیشترین شمار تخلخل در گروه سوم دیده می‌شود. برای بررسی رابطه‌ی میان شمار تخلخل‌ها و روش اسپروگذاری، از ANOVA استفاده گردید و با $p<0.05$ در میان این سه روش اختلاف معنادار آماری مشاهده شد. با توجه به معناداری اختلاف سه گروه برای مقایسه‌ی جفتی گروه‌ها از روش (LSD) استفاده شد و اختلاف معنادار آماری میان طرح‌های رزروار و رانبرار، و نیز رانبرار و روسو مشاهده نگردید. درحالی که میان رزروار و روسو با

$p<0.05$ اختلاف معنادار آماری مشاهده شد (نمودار ۱). در ادامه، نتایج به دست آمده از اندازه‌گیری مساحت تخلخل‌های درونی با سه روش اسپروگذاری در جدول ۲ دیده می‌شود.

همان گونه که مشاهده می‌شود، میانگین مساحت تخلخل‌های درونی در سه روش اسپروگذاری، به ترتیب $0/485$ و $0/485$ و $0/54$ هستند و نیز، انحراف معیارهای سه روش اسپروگذاری، عبارتند از $1/41444$ و $0/88572$ و $0/88323$.

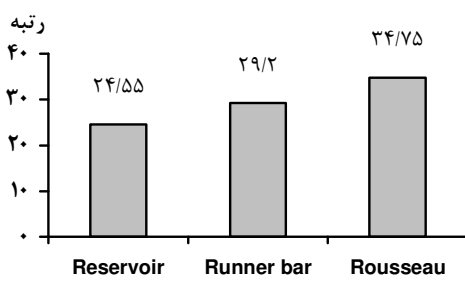
با توجه به نبود برقراری شرایط استفاده از ANOVA (به دلیل این که، توزیع مساحت‌های تخلخل‌های ایجاد شده در گروه‌ها طبیعی نبود ($p>0.1$)), برای بررسی تفاوت گروه‌ها از آزمون ناپارامتری کروسکال والیس استفاده شد. مشاهده گردید، که میان سه گروه اختلاف معنادار آماری هست ($p<0.05$). برای بررسی مقایسه‌های چندگانه، از روش ناپارامتری من وینتی (Mann Whitney) استفاده شد و مانند پیش، در اینجا نیز، میان طرح‌های رزروار و رانبرار و نیز رانبرار و روسو اختلاف معنادار آماری دیده شد ($p<0.05$) (نمودار ۲).

جدول ۱: شمار تخلخل‌های درونی در سه روش اسپروگذاری *Rousseau* و *Runner bar Reservior*

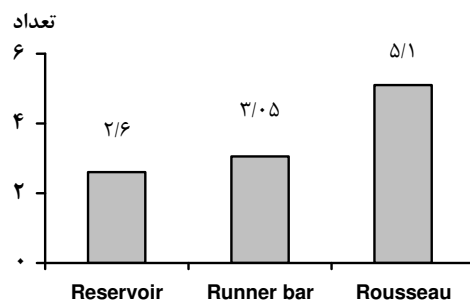
شمار	میانگین	انحراف معیار	خطای معیار	درصد فاصله‌ی اطمینان در میانگین			حداکثر	حداقل	درصد فاصله‌ی اطمینان در میانگین
				باند بالایی	باند پایینی	باند بالایی			
۱۳	۰	۴	۱/۲	۰/۶۷	۲/۹۹۸	۲/۶	۲۰	Reservoir	
۸	۰	۴/۱۴	۱/۹۶	۰/۵۲۱	۲/۳۲۸	۳/۰۵	۲۰	Runner	
۱۹	۰	۷/۰۶	۳/۱۴	۰/۹۳۴	۴/۱۷۹	۵/۱	۲۰	Rousseau	
۱۹	۰	۴/۴۶	۲/۷۱	۰/۴۳۷	۳/۳۸۶	۳/۵۸	۶۰	جمع	

جدول ۲: مساحت تخلخل‌های درونی در سه روش اسپروگذاری *Rousseau* و *Runner bar Reservior*

شمار	میانگین	انحراف معیار	خطای معیار	درصد فاصله‌ی اطمینان در میانگین			حداکثر	حداقل	درصد فاصله‌ی اطمینان در میانگین
				باند بالایی	باند پایینی	باند بالایی			
۲۴/۵۵	۱/۸	۰/۰۰	۱/۲۸۲	۰/۰۴۲	۰/۲۱۶۸۲	۱/۴۱۴۴۴	۰/۶۲	۲۰	Reservoir
۲۹/۲	۵/۴	۰/۰۰	۰/۸۹۹۵	۰/۰۷۰۵	۰/۱۹۸۰۵	۰/۸۸۵۷۲	۰/۴۸۵	۲۰	Runner
۳۴/۷۵	۵/۴	۰/۰۰	۰/۸۱۳	۰/۲۶۷	۰/۱۳۰۴۱	۰/۸۵۳۲۳	۰/۵۴	۲۰	Rousseau
۳/۴	۰/۰۰	۰/۸۰۷۹	۰/۲۸۸۸	۰/۱۲۹۷۲	۱/۰۰۴۷۸	۰/۵۴۸۳	۶۰	جمع	



نمودار ۲: میانگین رتبه‌ی مساحت تخلخل‌های درونی در سه روش اسپروگذاری Reservoir و Runner bar و Rousseau



نمودار ۱: میانگین شمار تخلخل‌های درونی در سه روش اسپروگذاری Reservoir و Runner bar و Rousseau

دو اسپرو به جای تک اسپرو در مقایسه با طرح رزروار، که اسپروی تکی به شمار می‌آید، در بررسی کنونی با اسپروی رزروار نتایج مطلوبی به دست آمد، که این نتیجه ممکن است به دلیل جای اتصال نادرست است اسپروی تکی در بررسی چان^(۲۱) Chan باشد، که اسپرو عمود بر سطح اکلوزال است حال انکه جای اتصال و زاویه‌ی اسپروی رزروار در بررسی کنونی با زاویه ۴۵ درجه بوده و نیز مخزن (Reservoir) در بررسی کنونی طراحی شده بود. پایین تر بودن میانگین سطح تخلخل درونی در روش اسپروی دوتایی در روش چان ($۰/۰\pm ۰/۲$ میلیمتر مربع) و همین طور اسپروی تکی ($۰/۷\pm ۰/۱$ میلیمتر مربع) هم میتواند به دلیل اختلاف در دستگاه ریخته‌گری باشد وهم تفاوت در اندازه دای فلزی. هر چند که کور نبودن اندازه‌گیری تخلخل درونی تعمیم پذیری نتایج بررسی فوق را با اشکال مواجه می‌سازد. در هر حال، با بررسی کنونی نیز نظر چان^(۲۱) Chan مبنی بر اثر شکل هندسی اسپرو (قطر، شکل ...) بر میزان تخلخل درونی و تأیید شد.

به نظر می‌رسد که بررسی کنونی از این جنبه، که سه روش گوناگون اسپروگذاری تکی را برای هر روکش، با تایتانیوم، با هم مقایسه کرده و تاکنون هیچیک از بررسی‌های پیشین به چنین مقایسه‌ای اقدام نکرده‌اند، فراگیرتر است. برای نمونه، در بررسی وو (Wu) و همکاران^(۲۲) چهارگره طرح اسپروی

بحث

نتایج این بررسی نشان داد، که میزان تخلخل درونی برای اسپروگذاری طرح رزروار (میانگین شمار ۲/۶ و میانگین رتبه‌ی مساحت ۲۴/۵۵) و برای طرح اسپروی رانربار (میانگین شمار ۳/۰۵ و میانگین رتبه‌ی مساحت ۲۹/۲) و برای طرح اسپروی روسو (میانگین شمار ۵/۱ و میانگین رتبه‌ی مساحت ۳۷/۷۵) به دست آمد، که بیانگر وجود مشکلات ریخته‌گری (تخلخل درونی) در هر سه گروه است. به این ترتیب آشکار گردید، که اسپروی با طرح رزروار میزان کمتری تخلخل درونی نسبت به اسپروی با طرح رانربار و روسو ایجاد می‌کند.

برتری اسپروی با طرح رزروار ممکن است به دلیل در اختیار گذاشتن کوتاه‌ترین و سریع‌ترین مسیر ممکن و نیز، مقدار کافی فلز‌تایتانیوم برای فضای مولد (mold cavity) باشد. کاربرد ونت نشان داد، که در نیمه‌ی نزدیک به اتصال ونت میزان تخلخل درونی کمتری نسبت به جهت مخالف ایجاد می‌گردد، که این یافته ممکن است نتیجه‌ی عدم تجمع هوا یا هوای باقیمانده و یا گاز آرگون در این سمت باشد و یا این که ونت در این جا، به عنوان یک مخزن (Reservoir) از فلز مذاب در زمان انجام‌داد عمل می‌کند و این موضوع با نتیجه‌ی به دست آمده در بررسی چان^(۲۱) Chan درباره‌ی کاربرد ونت یکسان است، اما برخلاف نتیجه‌ی همین بررسی درباره‌ی برتری کاربرد

کردن شمار الگوها) باز هم بیشترین میزان تخلخل درونی در گروه روسو است، که این موضوع می‌تواند به علت کاهش توان سانتریفوژ (پایین‌آمدن سرعت فلز مذاب) در زمان ریخته‌گری به علت وجود خمیدگی در بار افقی طرح روسو و جای ورود فلز مذاب باشد.

همان گونه که گفته شد، مشکلات ریخته‌گری تایتانیوم را که به دلیل وزن مخصوص پایین این آلیاژ به وجود می‌آید، باید با دو عامل جبران کرد، که یکی از آنها، طراحی اسپرسو و دیگری سرعت چرخش دستگاه ریخته‌گری است و تفاوت در دستگاه‌های ریخته‌گری می‌تواند نتایج گوناگون را نشان دهد. با توجه به محدودیت و کاستی‌های منابع در دسترس از جمله کورنیون اندازه‌گیری تخلخل درونی^{(۲۳)، (۲۱)، (۱۴)}، عدم ارایه میانگین سطح تخلخل، دو نیمه نکردن مدل از میاشگاهی به هنگام پرتونگاری و امکان بر روی هم افتادن نمای تخلخل‌های درونی^{(۲۶)، (۲۵)}، تفاوت در شکل و اندازه مدل آزمایشگاهی^{(۲۳)، (۲۱)، (۱۴)} و تفاوت در دستگاه ریخته‌گری و شیوه‌های اندازه‌گیری تخلخل درونی^{(۲۳)، (۲۴)} مقایسه نتیجه منابع فوق با بررسی کنونی دشوار و گاه غیر اصولی به نظر میرسد. همچنین با توجه به این که این بررسی، اولین تجربه در زمینه ریختگی آلیاژ تایتانیوم در ایران بوده و بسیاری از مراحل اجرایی ان با ازمایش و خطاهای بسیار همراه بوده است و همچنین با توجه به دخالت عامل انسانی در مراحل اجرایی (رها کردن دستی سانتریفوژ) مشاهده‌ی چشمی ذوب کامل فلز) که در قسمت دشواری‌ها و پیشنهادهای این مقاله به تفصیل مورد بررسی قرار گرفته است، انجام پژوهش‌های دیگر در این زمینه برای افزایش تعمیم پذیری نتایج ضروری به نظر می‌رسد.

دشواری‌ها و پیشنهادها

در مراحل اجرایی بررسی، به دلیل این که، زمان ریخته‌گری و رها کردن سانتریفوژ به صورت دستی انجام می‌گرفت و این عمل پس از مشاهده‌ی چشمی ذوب کامل فلز تایتانیوم انجام می‌شد و دخالت عامل انسانی در بیشتر زمان‌ها باعث می‌شد، که زمان رها

رانبار با شکل و قطرهای گوناگون در یک بازسازی رایانه‌ای بررسی شد، که بهترین گونه‌ی طرح رانبار (با ابعاد مشخص شده در بخش روش بررسی) به دست آمد، که به عنوان بهترین طرح برای ریخته‌گری تایتانیوم بی تخلخل درونی مطرح گردید و در بررسی کنونی در گروه رانر بار از طرح بالا استفاده شد، اما به نتیجه‌ی ریخته‌گری تایتانیوم بی تخلخل دستیابی نگردید و حتی در این گونه اسپرسو نسبت به گونه‌ی رزروار نتایج ضعیف‌تر (میزان تخلخل درونی بیشتر) مشاهده گردید که ممکن است تفاوت‌ها به دلیل اختلاف در روش اجرای این دو بررسی، کمبود تعداد نمونه ریخته شده (۵ عدد) مورد آزمون پس از بررسی رایانه‌ای و همچنین عدم ذکر جزئیات (نوع دستگاه ریخته‌گری و اینوستمنت و تایتانیوم-مدت زمان قرار گرفتن و موقعیت قرار گرفتن سیلندرها در کوره و درجه نهایی آن باشد. در بررسی چای (Chai)^(۱۴) نیز، افزایش تخلخل درونی در طرح رانر بار گزارش شده است. هر چند که امکان بر روی هم افتادن نمای تخلخل‌های درونی به دلیل دو نیمه نکردن روکش‌ها وجود دارد.

طرح اسپرسو روسو در هیچ یک از مقالات پیشین برای ریخته‌گری با تایتانیوم بررسی نشده است و تنها به دلیل پیشنهاد برشی از کارخانه‌های سازنده‌ی دستگاه ریخته‌گری تایتانیوم و نیز، بررسی‌های یانگ و همکاران^{(۲۹)، (۳۴)} در سال ۱۹۸۷ در برگزاری آلیاژ‌های فلزی، در این بررسی ارزیابی گردید.

طرح روسو به دلیل قرار گرفتن الگوهای مومی در بیرون از کانون دمایی و امکان جریان آلیاژ مذاب در اینوستمنت با دمای مناسب و نیز کاهش غلیان (curved bar)، به علت وجود خمیدگی (turbulence) بهترین طرح ریختگی آلیاژ‌های دندانپزشکی معروف شده بود^(۲۴). این طرح اسپرسو گذاری (روسو)، به عنوان یک گروه اصلی در بررسی کنونی قرار گرفت، اما در نتیجه‌ی بررسی دیده شد، که حتی با تغییراتی، که به صورت عملی در پیش از بررسی به آن احساس نیاز گردیده بود (کم کردن بلندی بازوی افقی و سرچشمه گرفتن اسپرسو در نزدیکی مرکز Crucible former و کم

واحدهایی مجاور هم (Joining) و وضعیت پیوند تایتانیوم با پرسلن (Bonding) به عنوان زمینه بررسی های آینده پیشنهاد می گردد. در پایان، یادآور می شود، به دلیل این، که ریخته گری تایتانیوم برای نخستین بار در دندانپزشکی ایران انجام گرفته است و زمان رها کردن سانتریفوژ دستگاه ریخته گری به تجربه‌ی زیاد نیاز دارد، برای کاهش تخلخل درونی و ارزیابی اعتبار بررسی کنونی، به بررسی های بیشتر نیاز هست.

نتیجه‌گیری

۱. طرح های متفاوت اسپرو بر روی میزان تخلخل درونی اثراتی گوناگون ایجاد می کنند.
۲. برای جبران پایین بودن وزن مخصوص تایتانیوم و رسیدن به نتیجه‌ی مطلوب تر، باید از طراحی اسپرو با طرح مستقیم و با قطر بزرگ تر از اسپروهای رایج و همراه با مخزن استفاده کرد.
۳. وجود نت می تواند میزان تخلخل درونی را کاهش دهد.
۴. طرح اسپروی رزروار، به عنوان بهترین طرح برای کاهش تخلخل درونی ریختگی تایتانیوم در این بررسی شناخته شد.

سپاسگزاری

مجریان طرح مرتب سپاس خود را از مرکز تحقیقات دندانپزشکی دانشگاه علوم بزشکی شهید بهشتی، برای پرداخت هزینه‌های طرح و از آقای دکتر اکبرزاده، برای انجام آنالیزهای آماری اعلام می دارند.

کردن سانتریفوژ اندکی زودتر و یا دیرتر انجام گیرد و در هر دو مورد، به ویژه زمانی که، سانتریفوژ دیرتر رها می شد، ریخته گی های ناقصی به وجود می آمد، که البته با افزایش شمار ریخته گری تا اندازه‌ای این مشکل حل شد، ولی به هر حال، حذف کامل عامل انسانی (مشاهده‌ی چشمی) امکان پذیر نبود، که این موضوع، می تواند به دست آوردن نتایج درست و تعیین‌پذیری این بررسی را خدشه دار سازد. به نظر می رسد که مشکل فوق می تواند با تغییر روش دستی به روش کاملاً کنترل شده‌ی رایانه‌ای به وسیله‌ی حس‌گرهای دقیق جبران شود.

به همین منظور، به کارخانه‌ی سازنده‌ی دستگاه پیشنهاد می شود، که با تغییر روش ریخته گری از روش دستی به روش کاملاً خودکار اقدام کند. همچنین، برای انجام بررسی های بعدی، به افراد عمل کننده پیشنهاد می شود که با تکرار زیاد ریخته گری با روش آزمون و خطأ، به نتیجه‌ی مطلوب تر زمان ریخته گری نزدیک شوند. گرچه طرح اسپرو رزروار، به عنوان بهترین طرح در این بررسی شناخته شد، ولی برای بهبود ریختگی و حذف یا کاهش تخلخل، به بررسی های بیشتر نیاز است. از آنجایی که محدودیت‌های مالی و زمانی امکان مقایسه کلیه طرح‌های اسپروگذاری پیشنهادی (^{۱۰}^{و ۱۱}) را امکان پذیر نمی ساخت، بررسی این طرح‌ها نیز برای کاهش تخلخل درونی می تواند مورد توجه قرار گیرد. تاثیر طراحی اسپرو در بریج‌های چند واحدی و در ضخامت‌های گوناگون و تاثیر هم زمان ان بر انتباط مارجین (adaptation) Marginal (Casting accuracy) و همچنین بررسی اتصال

References

1. Kyung- Soo J, Suk Jin Y, Yung- Soo K. Comparison of castability and surface roughness of commercially pure Titanium and cobalt-chromium denture frameworks. *J Prosthet Dent* 2001; 86: 93-98.
2. Luo XP, Guo TW, Ou YG, Liu Q. Titanium casting into phosphate bonded investment with zirconite. *Dent Mater J* 2002; 18: 512-515.
3. Ban S, Watanabe T, Mizutani N, Fukui H, Hasegawa J, Nakamura H. Interfacial oxidations of pure titanium and titanium alloys with investments. *Dent Mater J* 2000; 19: 352-362.
4. Hamanaka H, Yoneyama H, Okuno O. Dental casting of titanium and nickel titanium alloys by new casting machine. *J Dent Research* 1989; 68(11): 1529-1533.
5. Bert T Cecconi, Raymond G, Koeppen L, Rodney D, Phoenix S, Mark L. Cecconi: Casting titanium partial denture frameworks: A radiographic evaluation. *J Prosthet Dent* 2002; 87: 277-280.
6. Oruc S, Tulunoglu Y. Fit of titanium and a base metal alloy metal-ceramic crown. *J Prosthet Dent* 2000; 83: 314-318.
7. Low D, Sum II, Swain M. Thermal expansion coefficient of titanium casting. *J Oral Rehabil* 2001; 28:239-242.
8. Nilson H, Bergman B, Bessing CH, Lundquist P, Andersson M. Titanium copings veneered with procera ceramics: A longitudinal clinical study. *Int J Prosthodont* 1994; 7: 115-119.
9. Kononen M, Rantanen J, Waltimo A, Kempainen P. Titanium framework removable partial denture used for patient allergic to other metals: A clinical report and literature review. *J Prosthet Dent* 1995; 73: 4-7.
10. Wu M, Tinschert J, Augthun M, Wagner I, Schadlich- Stubenrauch J, Sahm PR, Spiekermann H. Application of laser measuring, numerical simulation and rapid prototyping to titanium dental castings. *Dent Mater J* 2001; 17: 102-108.
11. Valderama S, Roekel NV, Andresson M, Charles G, Munoz C. A comparison of the marginal and internal adaptation of titanium and gold-platinum-palladium metal ceramic crowns. *Int J Prosthodont* 1995; 8: 29-37.
12. Wang R, Fenton A: A review of the literature. *Quint Int* 1996; 27:401-408
13. Watanabe I, Watkins JH, Nakajima A, Atsuta M, Okabe T. Effect of pressure difference on the quality of titanium casting. *J Dent Res* 1997; 76: 773-779.
14. Chai Song I, Rebert Stein S. Porosity and accuracy of multiple-unit titanium castings. *J Prosthet Dent* 1995; 73: 534-541.
15. Miyakawa O, Watanabe K, Okawa S. Skin holes of titanium castings. *Dent Mater* 1991; 12:171-181.
16. Wang RR, Boyle AM. A simple method for inspection of porosity in titanium casting. *J Prosthet Dent* 1993; 70: 235-236.

17. Baltag L, Watanabe K, Kusakari H, Miyakawa O. Internal porosity of cast titanium removable partial dentures: Influence of sprue direction on porosity in circumferential clasps of a clinical framework design. *J Prosthet Dent* 2002; 88: 151-158.
18. Ryge G, Kojak SF, Fairhurst CW: Porosities in dental gold castings. *J Am Dent Assoc* 1957; 54: 746-754.
19. Syverud M, Hero H. Mold filling of Ti castings using investments with different gas permeability. *Dent Mater J* 1995; 11: 14-18.
20. Zinelis S. Effect of pressure of helium, argon, krpton, and xenon on the porosity, microstructure, and mechanical properties of commercially pure titanium castings. *J Prosthet Dent* 2000; 84: 575-582.
21. Chan D, Gullory V, Blackman R, Chung R. The effect of sprue design on the roughness and porosity of titanium castings. *J Prosthet Dent* 1997; 78: 400-404.
22. Preston JD, Barger R. Some laboratory variables affecting ceramo-metal alloys. *Dent Clin North Am* 1977; 21: 717-728.
23. Wu M, Augthum M. Computer aided prediction and control of shrinkage porosity in titanium dental castings. *Dent Mater J* 1998; 14: 321-328.
24. Young HM, Coffey J, Caswell W. Sprue design and its effect on the castability of ceramometal alloys. *J Prosthet Dent* 1987; 57: 160-164.
25. Verrett RG, Duke ES. The effect of sprue attachment design on castability and porosity. *J Prosthet Dent* 1989; 61: 418-424.
26. Brockhurst PJ, McLaverty V, Kasloff Z. A castability standard for alloys used in restorative dentistry. *Oper Dent* 1983; 8: 130-139.
27. Bessing C, Bergman M. The castability of unalloyed titanium in three different casting machines. *Swed Dent J* 1992; 16: 109-113.
28. O'Brien W. Dental materials and their selection. 3rd Ed. Quintessence Publ., Chicago 2002; Chap.16: 234.
29. Young HM, Bonnet M, Hamdi M. The relationship of metal volume and sprue desing to porosity in nonprecious castings. *Quintessence of Dental Technology* 1987; 11: 399-404.
30. Hruska AR, Borelli P. Quality criteria for pure titanium castings, laboratory soldering, intraoral welding, and a device to aid in making uncontaminated castings. *J Prosthet Dent* 1991; 66: 61-65.

Abstract**Effect of Different Sprue Designs on the Internal Porosity of Cast Titanium Crowns**

Mahshid M.* - **Darabi R.**** - **Sazegara H.*** - **Seyyedan K.***** - **Varshosaz M.****** - **Ejlali M.*******
Nikoobazl M.***** - **Eslami B.*******

* Associate Professor, Department of Prosthodontics, School of Dentistry, Shahid Beheshti University of Medical Sciences

** Prosthodontist

*** Assistant Professor, Department of Fixed Prosthodontics, School of Dentistry, Shahid Beheshti University of Medical Sciences

**** Assistant Professor, Department of Oral and Maxillofacial Radiology, School of Dentistry, Shahid Beheshti University of Medical Sciences

***** Academic Staff, Department of Removable Prosthodontics, School of Dentistry, Shahid Beheshti University of Medical Sciences

***** Academic Staff, Central laboratory, School of Dentistry, Shahid Beheshti University of Medical Sciences

***** Associate Professor, Department of Oral Pathology, Dental School, School of Dentistry, Shahid Beheshti University of Medical Sciences

Statement of Problem: Porosity is a frequently observed casting defect in titanium dental casting.

Purpose: This study measured the effects of different sprue design on the internal porosity of cast titanium crowns.

Materials and Method: Sixty complete veneer crowns were fabricated on a stainless steel die with a 150-degree sloping shoulder using customized wax patterns. All wax patterns were sprued with 3 different sprue design (Reservoir, Runner bar and Rousseau) and were invested with an alumina-magnesia investment. Castings were made with commercially pure titanium (CP Ti (grade II)) according to the manufacturer's instructions. The castings were carefully cleaned. Internal porosities were quantified with photographs and radiographs by computerized image analyses. Data were analyzed with an ANOVA with a confidence level of 95%.

Results: There were statistically significant differences in the values of porosity between 3 types of sprue design. The reservoir sprue design had the least internal porosity comparing to the other designs.

Conclusions: Improvements in the porosity of titanium crowns was the result of the Reservoir sprue design with vent. Effects of Different sprue designs on internal porosity and their effects on casting accuracy and marginal adaptation of cast titanium crown and bridges must be evaluated to achieve better evidence and clinical relevance.

Key Words: Titanium, Sprue design, Internal porosity

Shiraz Univ. Dent. J. 2006; 6(3,4): 122-134